

Instituto Tecnológico de Buenos Aires

22.12 ELECTRÓNICA II

---

# Trabajo de laboratorio 1

## Fuente regulada de tensión

---

*Grupo 4*

BUALÓ, Santiago Andrés	57557
LAGUINGE, Juan Martín	57430
MARTORELL, Ariel Antonio	56209
PARRA, Rocío	57669

*Profesores*

HIRCHOREN, Gustavo Abraham  
PETRUCCI, Javier David

Presentado: 23/04/2019

# Índice

<b>1. Introducción</b>	<b>2</b>
<b>2. Diseño de la fuente regulada de tensión</b>	<b>2</b>
2.1. Generador . . . . .	2
2.2. Detector . . . . .	3
2.3. Circuito de control: par Darlington . . . . .	3
2.3.1. Elección de $T_2$ . . . . .	3
2.3.2. Elección de $T_1$ . . . . .	4
2.4. Pre-regulador: fuente de corriente . . . . .	4
2.5. Compensación de ganancia . . . . .	4
<b>3. Análisis de la protección</b>	<b>4</b>
<b>4. una sección</b>	<b>6</b>
<b>5. otra sección</b>	<b>6</b>

## 1. Introducción

En el presente informe, se diseñará una fuente regulada de tensión, realizando un análisis teórico de su funcionamiento, simulando el mismo en LtSpice y finalmente verificando que esto se cumpla con mediciones en el circuito real.

Los requerimientos para el diseño son:

$V_O$ [V]	$I_{O\ MAX}$ [A]
$9 < V_O < 15$	1.5

Tabla 1: Requerimientos de la fuente regulada de tensión a diseñar.

Como la tensión de salida no necesita llegar a 0V en regulación, se decidió utilizar la configuración no inversora vista en clase (donde la tensión de salida siempre es mayor a la de referencia).

## 2. Diseño de la fuente regulada de tensión

El circuito básico del que se partió (como se observa en la figura ?? ) obtiene la tensión de referencia a partir de un diodo Zener, que es comparada mediante un opamp con un divisor resistivo de la tensión de salida. Despreciando la corriente que entra al operacional, la salida se obtiene como:

$$V_O = \left(1 + \frac{R_A}{R_B}\right) \cdot V_Z \quad (1)$$

De esta manera, cambiando el valor de  $R_A$  se puede variar la tensión de salida.

toda esta sección falta estructurarla bien

dibujo del  
circuito sin  
fuente ni  
protección

### 2.1. Generador

Para obtener el rango establecido en la tabla 1, se decidió utilizar un diodo Zener con tensión nominal de 8.2V, de forma tal que con  $R_B = 47k\Omega$  y utilizando un preset de  $50k\Omega$  como  $R_A$ , se puede llegar a los valores de  $V_O$  requeridos. Si bien el valor exacto de los componentes no es particularmente relevante en el circuito, se eligieron en este orden de magnitud con el objetivo de que circule por ellos una corriente relativamente pequeña (de alrededor de  $V_Z/R_B \simeq 0.17mA$ ), sin introducir el ruido que una resistencia del orden de los megaohms provocaría.

En cuanto a  $R_1$ , la presencia de la misma tiene el único propósito de llevar al Zener a regulación. De acuerdo a la hoja de datos de este componente<sup>1</sup>, para que esto ocurra, la corriente debe ser mayor a  $I_{ZK} = 0.5mA$ , con valor nominal de  $I_{ZT} = 20mA$ , con su límite superior dado por la potencia de  $0.5W$  que se puede disipar (si bien se trabajó órdenes de magnitud por debajo de este límite, para que el diodo no caliente). En nuestro circuito, esta corriente está dada por:

$$I_Z = \frac{V_I - V_Z}{R_1}$$

Por lo tanto, sus mínimos y máximos coincidirán con los de la tensión de entrada. Se consideró que la tensión mínima de entrada es  $V_{I\ MIN} = V_{O\ MIN} + 1.5V = 10.5V$ , y la máxima,  $V_{I\ MAX} = V_{O\ MAX} + 5V = 20V$  (sobredimensionando en ambos casos). Se eligió entonces  $R_1 = 560\Omega$ , con lo cual se obtiene  $I_{Z\ MIN} = 4.1mA$  e  $I_{Z\ MAX} = 21.1mA$ .

<sup>1</sup><https://www.onsemi.com/pub/Collateral/1N5221B-D.PDF>, consultada 18/04/19.

Dicha corriente, así como la corriente de salida, es proporcionada por el par Darlington que conecta la entrada con la salida. Este par funciona como transistor de paso, aportando la diferencia de tensión necesaria para que  $V_O$  sea la de regulación. La realimentación del circuito hace que el opamp consuma la corriente suficiente como para que a la base de  $T_1$  llegue la justa y necesaria para que la salida se mantenga en regulación. El diodo  $D_1$  impide que el opamp entregue corriente, con lo cual la corriente máxima de salida se tiene cuando la totalidad de la entregada por la fuente va al transistor.

Se decidió utilizar dos transistores para el Darlington, en lugar de un integrado, para tener más control sobre el diseño del mismo. Por ejemplo, la mayoría de los pares Darlington del pañol de la universidad poseen resistencias entre la base y el emisor de  $T_2$ , y lo mismo para  $T_1$ . Sin embargo, con los transistores elegidos (como se verá a continuación), estas resistencias no ayudan a llevar los  $\beta$  a un punto mejor, y por lo tanto se decidió obviarlas.

## 2.2. Detector

## 2.3. Circuito de control: par Darlington

A la hora de elegir  $T_1$  y  $T_2$ , la principal consideración que se tuvo es que pudieran soportar holgadamente la corriente máxima. En segundo lugar, se tuvo en cuenta los rangos de  $\beta$  aportados por el fabricante, buscando el mayor mínimo y la menor dispersión posible. Por último, se consideró también el precio de cada componente listado en el pañol de la universidad.

### 2.3.1. Elección de $T_2$

Para  $T_2$ , sabemos que debe soportar toda la corriente de salida. Como debemos asegurar que se llegue por lo menos a 1.5A, y este valor dependerá considerablemente de los  $\beta$ , se descargaron modelos que sólo garantizan correcto funcionamiento hasta 2A o menos. Dejando de lado también los que están diseñados para más de 15A (los cuales suben mucho de precio y pierden demasiado  $\beta$ , y sabemos que no trabajaremos con corrientes tan elevadas), quedaron los modelos listados en la tabla 2.

Modelo	$I_{C\ MAX}$ (A)	$\beta_{MIN}$ (veces)	$\beta_{MAX}$ (veces)	Precio (USD)
TIP31C	3	10	50	0.26
TIP41A	6	15	75	0.28
TIP3055	15	20	70	0.43

Tabla 2: Características de los modelos considerados para  $T_2$

Se observa en dicha tabla el TIP41A posee un  $\beta$  un 50% mayor y el doble de corriente, por sólo dos centavos de dólar más. Si bien en este circuito 3A son suficientes, puesto que el TIP41A está diseñado para trabajar con corrientes muy superiores a las que necesitamos, mantiene para  $I_O = 2A$  su valor de  $\beta$  casi sin caída, lo cual no ocurre con el TIP31C. En cuanto al TIP3055, la corriente que soporta es innecesariamente alta, y el  $\beta$  es de similares características al del TIP41A. Como su precio es considerablemente superior al de los otros transistores sin mejoras considerables respecto del TIP41A, se descartó. Se utilizó pues el 41A. Por lo discutido en cuanto a las características de su  $\beta$  en las corrientes que utilizaremos, se decidió no agregar resistencias al par Darlington.

### 2.3.2. Elección de $T_1$

Si sobredimensionamos la corriente máxima de salida un 10 % (puesto que debemos asegurar que se llegue a 1.5A, y por lo tanto diseñar para llegar a más), el otro transistor debe soportar una corriente máxima de:

$$I_{T_1 \text{ MAX}} = \frac{I_{T_2 \text{ MAX}}}{\beta_{T_2 \text{ MIN}}} \leq \frac{1.65\text{A}}{15} = 110\text{mA}$$

Nótese que incluso considerando 2A se obtienen valores inferiores a 200mA, y sólo con 1.5A se obtiene 100mA, con lo cual podemos decir con confianza que  $I_{T_1 \text{ MAX}}$  debe ser superior a 100mA. Descartando los que soportan más de 1A, quedan sólo el 2N3904 y el BC337. Si bien este último cuesta un poco más del doble (0.10USD contra 0.04USD), se eligió este modelo de todas maneras por los siguientes motivos:

- Ambos tienen el mismo  $\beta$  mínimo, pero el máximo del BC337 es el doble de grande.
- Con  $I_C = 100\text{mA}$ , el  $\beta$  del 2N3904 se reduce un 70 %, mientras que la curva del BC337 se encuentra en su máximo en este punto.
- El BC está diseñado específicamente para amplificación, y el 2N es de uso general.

### 2.4. Pre-regulador: fuente de corriente

### 2.5. Compensación de ganancia

## 3. Análisis de la protección

Se decidió utilizar una protección foldback dado que esta evita el pasarnos de la corriente de salida máxima establecida,  $I_{o_{\text{máx}}} = 1.5\text{A}$  y nos limita la cantidad de potencia a disipar por una menor a la dada por una protección lineal reduciendo costos. Al agregar la protección foldback nos quedamos con el siguiente circuito:

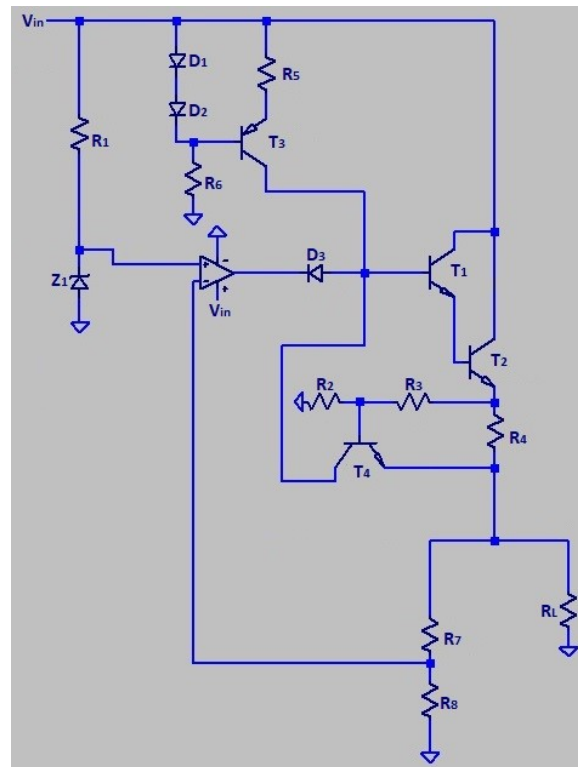


Figura 1: Circuito con protección

De la figura 1 podemos observar que la protección va a tener los siguientes parámetros:

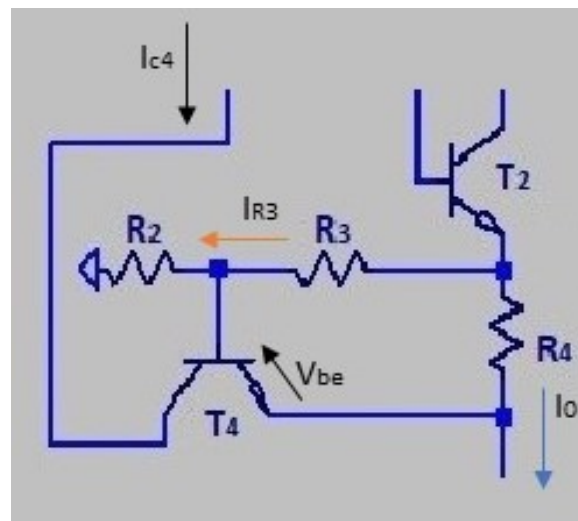


Figura 2: Análisis del circuito

De la 2 al recorrer la malla marcada obtenemos la siguiente ecuación:

**4. una sección**

**5. otra sección**